

ห้องศูนย์รวมวิจัย สำนักงานคณะกรรมการการวิจัยและพัฒนา



249019



ประชีพที่ดีของการบ้าบัดดี้เป็นไปได้โดยต้นแบบและจากความคิดทางวิเคราะห์ระบบขั้นตอนชั้นนำ

2 ไฟฟ้า 2 ลมหายใจ

TREATMENT EFFICIENCY OF CANE MOLASSES ALCOHOL
DISTILLERY WASTEWATER BY 2 PHASES 2 STAGES UASB

นายพงษ์เพ็ญ ธรรมชาติ

วิทยานิพนธ์ปริญญาวิศวกรรมศาสตรมหาบัณฑิต
มหาวิทยาลัยขอนแก่น

๒๕๕๓

b00253731

ห้องสมุดงานวิจัย สำนักงานคณะกรรมการวิจัยแห่งชาติ



249019



ประสิทธิภาพการบำบัดน้ำเสียโรงกลั่นเอทานอลจากกาหน้าตาลโดยระบบยูเออสบี
2 เฟส 2 สเตจ

TREATMENT EFFICIENCY OF CANE MOLASSES ALCOHOL
DISTILLERY WASTEWATER BY 2 PHASES 2 STAGES UASB



นายปิยพงศ์ สุวรรณศรี

วิทยานิพนธ์ปริญญาวิศวกรรมศาสตรมหาบัณฑิต
มหาวิทยาลัยขอนแก่น

พ.ศ. 2553

ประสิทธิภาพการนำบัดน้ำเสียโรงกลั่นออกงานอุจจาระจากน้ำตาลโดยระบบญูเออสบี
2 เพลส 2 สาดเจ

นายปิยพงศ์ สุวรรณศรี

วิทยานิพนธ์นี้เป็นส่วนหนึ่งของการศึกษาตามหลักสูตรปริญญาวิศวกรรมศาสตรมหาบัณฑิต
สาขาวิชาชีวกรรมสิ่งแวดล้อม
บัณฑิตวิทยาลัย มหาวิทยาลัยขอนแก่น

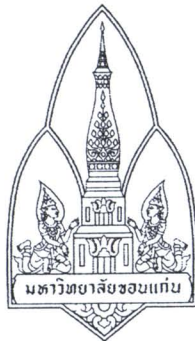
พ.ศ. 2553

**TREATMENT EFFICIENCY OF CANE MOLASSES ALCOHOL
DISTILLERY WASTEWATER BY 2 PHASES 2 STAGES UASB**

MR. PIYAPONG SUWANNASRI

**A THESIS SUBMITTED IN PARTIAL FULFILLMENTS OF THE REQUIREMENTS
FOR THE DEGREE OF MASTER OF ENGINEERING
IN ENVIRONMENTAL ENGINEERING
GRADUATE SCHOOL KHON KAEN UNIVERSITY**

2010



ใบรับรองวิทยานิพนธ์
มหาวิทยาลัยขอนแก่น
หลักสูตร
วิศวกรรมศาสตรมหาบัณฑิต
สาขาวิชาวิศวกรรมศาสตร์สิ่งแวดล้อม

ชื่อวิทยานิพนธ์: ประสิทธิภาพการนำบันไดเสี้ยโรงกลันเข้าห้องลูกจากภายน้ำตาล
โดยระบบบูซอสบี 2 เฟส 2 สเตจ

ชื่อผู้ทำวิทยานิพนธ์: นายปิยพงศ์ สุวรรณศรี

คณะกรรมการสอนวิทยานิพนธ์

รศ.คุภฤกษ์ สินสุพรรณ
Dr. Kazuaki Syutsubo
ดร.ไปรยา เนยไสย
ดร.วิลาสินี อุย়েছাবাল

ประธานกรรมการ
กรรมการ
กรรมการ
กรรมการ

อาจารย์ที่ปรึกษาวิทยานิพนธ์:

....
ไปรยา เนยไสย
(ดร.ไปรยา เนยไสย)

อาจารย์ที่ปรึกษา

.....
.....
(รองศาสตราจารย์ ดร. ล้ำปาง แม่นมาตย์)
คณบดีบัณฑิตวิทยาลัย

.....
.....
(รองศาสตราจารย์ ดร.สมนึก ธีระกุลพิศุทธิ์)
คณบดีคณวิศวกรรมศาสตร์

ลิขสิทธิ์ของมหาวิทยาลัยขอนแก่น

ปีพงศ์ สุวรรณศรี. 2553. ประสิทธิภาพการบำบัดน้ำเสียโรงกลั่นอุตสาหกรรมจากกาแก้ต้าล โดยระบบยูเออสบี 2 เฟส 2 สเตจ. วิทยานิพนธ์ปริญญาวิศวกรรมศาสตรมหาบัณฑิต สาขาวิชาวิศวกรรมสิ่งแวดล้อม บัณฑิตวิทยาลัย มหาวิทยาลัยขอนแก่น.

อาจารย์ที่ปรึกษาวิทยานิพนธ์: ดร. ไปรยา เจริญไชย

บทคัดย่อ

249019

การศึกษานี้มีวัตถุประสงค์เพื่อศึกษาประสิทธิภาพของระบบยูเออสบี 2 เฟส 2 สเตจ ใน การบำบัดน้ำเสีย จากโรงกลั่นอุตสาหกรรมจากกาแก้ต้าล โดยนำน้ำเสียจริงจากโรงกลั่นอุตสาหกรรมจากกาแก้ต้าลมาเจือจางด้วย น้ำประปา ไม่มีการเติมสารปรับสมดุลและสารอาหารอื่นๆเพิ่มเติม ป้อนเข้าระบบซึ่งไม่มีการควบคุมอุณหภูมิ ระบบที่ใช้ในการทดลองประกอบด้วยถังปฏิกรณ์หมักกรดปริมาตร 5.4 ลิตร 1 ถัง และถังปฏิกรณ์ยูเออสบี ปริมาตร 8.2 ลิตร จำนวน 2 ถัง ต่อเนื่องกันตามลำดับ ป้อนน้ำเสียเข้าระบบด้วยอัตราการไหลคงที่ที่ 4.6 ลิตร/วัน ตอกอนเซ็ทที่ใช้ในระบบยูเออสบีเป็นตะกอนเม็ดจากระบบยูเออสบีที่ไม่มีการควบคุมอุณหภูมิของโรงงานเบียร์ การทดลองแบ่งเป็น 2 ช่วงการทดลอง โดยการทดลองช่วงที่ 1 เพื่อทำการศึกษาประสิทธิภาพของระบบใช้เวลาในการทดลองทั้งสิ้น 139 วัน ที่ความเข้มข้นซีโอดีน้ำเสียระบบสูงสุด 20,000 มก./ลิตร ระบบมีประสิทธิภาพการกำจัดซีโอดีรวม ร้อยละ 82 น้ำออกระบบมีค่ากรดไขมันระเหยจ่ายเฉลี่ย 539 มก./ลิตร ในรูปของกรดอะซิติก อัตราส่วนระหว่างกรดไขมันระเหยจ่ายต่อสภาพด่างทั้งหมด คือ 0.4 อัตราร้อยละของก๊าซมีเทนในก๊าซเชื้าวาฟที่ผลิตได้มีค่าเฉลี่ย 64 ในการทดลองช่วงที่ 2 เพื่อทำการทดสอบสมรรถนะของระบบในการรองรับอัตราการบรรทุกอินทรีย์พบว่า ระบบล้มเหลวเมื่อเพิ่มความเข้มข้นซีโอดีน้ำเสียที่ 40,000 มก./ลิตร โดยนำออกระบบมีค่ากรดไขมันระเหยจ่ายสูงสุด 10,250 มก./ลิตร ในรูปของกรดอะซิติก อัตราส่วนระหว่างกรดไขมันระเหยจ่ายต่อสภาพด่างทั้งหมดเพิ่มขึ้นถึง 1.58 ทำให้ระบบไม่สามารถรักษาสมดุลพื้นที่ไว้ได้

Piyapong Suwannasri. 2010. **Treatment Efficiency of Cane Molasses Alcohol Distillery Wastewater by**

2 phases 2 stages UASB. Master of Engineering Thesis in Environmental Engineering, Graduate School, Khon Kaen University.

Thesis Advisor: Dr. Pairaya Choeisai

ABSTRACT

249019

This study was to investigate the performance of 2 phases 2 stages UASB system for treatability of cane-molasses alcohol distillery wastewater. Wastewater from cane-molasses alcohol distillery plant was diluted by tap water without addition of nutrient supplement and alkalinity. The system composes of a 5.4 liter acidification tank and 8.2 liter UASB 2 reactors in line order. The flow rate of 4.6 l/day was fed into the system without temperature control. Seed sludge was granular sludge of a brewery's ambient UASB. The studies were runned in two periods. First experiment was studied the process performance of 139 day operation with maximum COD influent of 20,000 mg/l resulting that COD removal efficiency was 82%, Volatile Fatty Acid (VFA) in effluent was 539 mg/l as acetic acid. VFA and alkalinity ratio was 0.4 and methane composition in biogas was 64%. The second experiment was focused on process capability under organic loading rate increment. When COD was increased up to 40,000 mg/l the system failure was reached with a maximum VFA in effluent of 10,250 mg/l as acetic acid. VFA and alkalinity ratio of 1.58 was found and made the system failed due to an uncontrollable pH.

กิตติกรรมประกาศ

วิทยานิพนธ์ฉบับนี้สำเร็จอุ่่วงอย่างสมบูรณ์ได้ด้วยความกรุณาอย่างยิ่งจาก ดร. ไพรยา เนยไสย อาจารย์ที่ปรึกษาวิทยานิพนธ์ ซึ่งท่านได้แนะนำความรู้ความรู้ในเชิงวิชาการและข้อคิดค่าจ่าที่เป็นประโยชน์มาก ในงานวิจัยครั้งนี้มาโดยตลอด รวมถึงตรวจสอบแก้ไขข้อบกพร่องที่เกิดขึ้นด้วยความเอาใจใส่ ข้าพเจ้าจึงขอรับรองพระคุณไว้ ณ โอกาสนี้

ขอขอบคุณ ศศ.ศุภฤทธิ์ สินสุพรรณ Dr. Kazuaki Syutsubo และ ดร.วิลาสินี อัญชลี瓦ล คณะกรรมการสอบวิทยานิพนธ์ ที่ได้ให้ความกรุณาให้คำแนะนำและตรวจสอบแก้ไขข้อบกพร่องของวิทยานิพนธ์ฉบับนี้จนสำเร็จเรียบร้อยสมบูรณ์ยิ่งขึ้น

ขอขอบคุณ โรงพยาบาลกรุงเทพ จ.ชัยภูมิ ที่อนุเคราะห์นำกากรสำหรับงานนี้ และ บริษัท โรงแรมเบียร์ ขอนแก่น ที่อนุเคราะห์เชื้อต่อตอนจุลินทรีย์จากระบบ UASB ตลอดระยะเวลาในการทดลองครั้งนี้

ขอขอบคุณคณาจารย์ภาควิชาวิศวกรรมสิ่งแวดล้อม และเจ้าหน้าที่ห้องปฏิบัติการ ภาควิชาวิศวกรรมสิ่งแวดล้อม คณะวิศวกรรมศาสตร์ มหาวิทยาลัยขอนแก่นทุกท่านที่ได้ประสิทธิ์ประสานทางวิชาความรู้แก่ผู้วิจัย ให้คำปรึกษาแนะนำ และอำนวยความสะดวกด้านเครื่องมือและการวิเคราะห์ในห้องปฏิบัติการ

ขอขอบคุณศูนย์การจัดการสิ่งแวดล้อมและของเสียอันตราย ภาควิชาวิศวกรรมสิ่งแวดล้อม คณะวิศวกรรมศาสตร์ มหาวิทยาลัยขอนแก่น ที่ได้สนับสนุนทุนวิจัยส่วนหนึ่งในครั้งนี้

ท้ายที่สุดนี้ ผู้วิจัยขอกราบขอบพระคุณ บิดา มารตรา รวมถึงญาติพี่น้องทุกคนที่เคยให้กำลังใจ และทุกสิ่งทุกอย่างที่ทำให้มีความสำเร็จในวันนี้ และขอขอบคุณเพื่อนๆ รุ่นพี่ และรุ่นน้องทุกท่าน ที่เคยเป็นกำลังใจ และให้คำแนะนำที่เป็นประโยชน์ ตลอดจนช่วยเหลือในทุกด้านจนสำเร็จการศึกษา

ปิยพงศ์ สุวรรณศรี

สารบัญ

บทคัดย่อภาษาไทย	ก
บทคัดย่อภาษาอังกฤษ	ข
กิตติกรรมประกาศ	ค
สารบัญตาราง	ซ
สารบัญภาพ	ฉ
บทที่ 1 บทนำ	1
1. ความสำคัญและที่มาของปัจจุบัน	1
2. วัตถุประสงค์	2
3. ประโยชน์ที่คาดว่าจะได้รับจากการวิจัย	2
บทที่ 2 ทฤษฎีและวรรณกรรมที่เกี่ยวข้อง	3
1. การบำบัดน้ำเสียด้วยกระบวนการ ไร้ออกซิเจน (Anaerobic treatment)	3
2. กระบวนการเปลี่ยนรูปในระบบ ไร้ออกซิเจน	5
2.1 ไฮโดรไลซิส (Hydrolysis)	5
2.2 อะซิโโคเจนезิส (Acidogenesis)	6
2.3 อะซิโโคเจนезิส (Acetogenesis)	6
2.4 เมทานเจนезิส (Methanogenesis)	6
3. ปัจจัยที่มีผลต่อการทำงานของกระบวนการ ไร้ออกซิเจน	7
3.1 อุณหภูมิ	7
3.2 พีเอช (pH)	7
3.3 ความเข้มข้นของไขมันระเหย	8
3.4 ระดับสภาพด่าง	8
3.5 โออาร์พี (ORP)	8
3.6 ประเภทสารอาหารในน้ำเสีย (Substrate)	8
3.7 สารอาหารที่จำเป็น (Nutrients)	8
3.8 สารพิษ (Toxic)	9
3.8.1 กรดไขมันระเหย	9
3.8.2 แอมโมเนีย	9
3.8.3 ซัลไฟด์	9

สารบัญ (ต่อ)

	หน้า
3.8.4 อิօօນและ ໄໂລහະໜັກ	9
3.8.5 ສາຮອນທີ່	9
4. ຮະບັບຢູ່ເອເສົງ (Upflow Anaerobic Sludge Blanket : UASB)	10
4.1 ຄວາມເປັນມາຂອງຮະບັບຢູ່ເອເສົງ	10
4.2 ລັກຜະແລກຮ່າງດຳເນີນຂອງຮະບັບຢູ່ເອເສົງ	10
4.3 ຂົດື້ອື່ນເສີຍຂອງຮະບັບຢູ່ເອເສົງ	12
4.4 Granular sludge ในຜັງປົກປົກຢູ່ເອເສົງ	12
4.5 ໂຄງຮ້າງຂອງແບກທີ່ເຮີຍໃນເມືດຈຸລິນທີ່ (Granules)	13
4.6 ກລິກາກເກີດເນີດຕະກອນຈຸລິນທີ່	14
5. ການແຍກເກີດປົກປົກອອກເປັນສອງສ່ວນ (Two-Phase Process)	14
5.1 ຂົດື້ອື່ນເສີຍຂອງຮະບັບໜັກແບນ 2 ເຟສ	15
5.2 ເຖິງກິດໃນການແຍກອອກເປັນ 2 ເຟສ	15
5.3 ລັກຜະການທຳມະນຸດຂອງຮະບັບ	16
6. ການພັນຮະບັບ ອື່ນຈຸກຮະບັບ UASB	17
6.1 ຮະບັບຢູ່ເອເສົງແບນ 2 ເຟສ (two-phase UASB)	17
6.2 ຮະບັບອົງເຈືອສົງ (EGSB)	17
6.3 ຮະບັບ UASB-IC (Internal Circulation)	18
7. ຈາກວິຊາທີ່ເກີ່ມຂຶ້ນ	18
ບທທີ 3 ວິທີດຳນິນກາວວິຊາ	20
1. ລັກຜະສົມບັດຂອງນໍ້າເສີຍກາກສ່າທີ່ໃຊ້ໃນກາວທົດລອງ	20
2. ກາຣເຕີມເຊື່ອຕະກອນ	20
3. ເຄື່ອງນື້ອແລະ ອຸປປົກປົກ	21
4. ວິທີກາວທົດລອງ	23
5. ວິທີກາວເກັບຕ້ວອຍ່າງ	24
6. ວິທີວະກາະຫຼັກຕ້ວອຍ່າງ	25
ບທທີ 4 ພຸດກາວວິຊາແລະ ອົກປ່າຍພດ	27
1. ພຸດກາວທົດລອງ ທ່າງທີ່ 1	27
1.1 ອຸ່ນຫຼຸມໃນກາວທົດລອງທ່າງທີ່ 1	27

สารบัญ (ต่อ)

	หน้า
1.2 ประสิทธิภาพของระบบ ในการทดลองช่วงที่ 1	30
1.2.1 ความเข้มข้นซีโอดีน้ำเสียเข้าระบบและการบรรเทาภัยในการทดลองช่วงที่ 1	30
1.2.2 ประสิทธิภาพการกำจัดซีโอดีทั้งหมด ในการทดลองช่วงที่ 1	31
1.2.3 พีเอช ในการทดลองช่วงที่ 1	32
1.2.4 กรณีมันระเหย ในการทดลองช่วงที่ 1	33
1.2.5 สภาพค่าคงทั้งหมด ในการทดลองช่วงที่ 1	34
1.2.6 อัตราส่วนกรด ไขมันระเหยต่อสภาพค่าคงทั้งหมด ในการทดลองช่วงที่ 1	35
1.2.7 อัตราส่วนค่าตะกอนแขวนลอยกับค่าตะกอนแขวนลอยระเหย ในการทดลองช่วงที่ 1	36
1.2.8 ร้อยละก้ามีเทน ในการทดลองช่วงที่ 1	37
1.3 ปริมาณเชื้อตะกอนในระบบ ในการทดลองช่วงที่ 1	38
1.4 สมดุลย์มวลสารในรูปซีโอดี (COD balance) ใน การทดลองช่วงที่ 1	38
2. ผลการทดลองช่วงที่ 2	41
2.1 คุณภาพ ในการทดลองช่วงที่ 2	41
2.2 ประสิทธิภาพของระบบ การทดลองช่วงที่ 2	44
2.2.1 ความเข้มข้นซีโอดีน้ำเสียเข้าระบบและการบรรเทาภัย ในการทดลองช่วงที่ 2	44
2.2.2 ประสิทธิภาพการกำจัดซีโอดีทั้งหมด ในการทดลองช่วงที่ 2	45
2.2.3 พีเอช ในการทดลองช่วงที่ 2	47
2.2.4 กรณีมันระเหย ในการทดลองช่วงที่ 2	48
2.2.5 สภาพค่าคงทั้งหมด ในการทดลองช่วงที่ 2	49
2.2.6 อัตราส่วนกรด ไขมันระเหยต่อสภาพค่าคงทั้งหมด ในการทดลองช่วงที่ 2	49
2.2.7 อัตราส่วนค่าตะกอนแขวนลอยกับค่าตะกอนแขวนลอยระเหยในการทดลองช่วงที่ 2	51
2.2.8 ร้อยละก้ามีเทน ในการทดลองช่วงที่ 2	51
2.3 ปริมาณเชื้อตะกอนของระบบ ในการทดลองช่วงที่ 2	52
2.4 สมดุลย์มวลสารในรูปซีโอดี (COD balance) ในการทดลองช่วงที่ 2	53

สารบัญ (ต่อ)

	หน้า
3. เปรียบเทียบผลการทดลองช่วงที่ 1 และ 2	58
3.1 อุณหภูมิ	58
3.2 ประสิทธิภาพการกำจัดซีโอดี	59
3.3 พีเอช	60
3.4 อัตราส่วนระหว่างกรดไฮมันและเหย่งกับสภาพค่าทั้งหมด	61
3.5 อัตราส่วนค่าตะกอนแขวนลอยกับค่าตะกอนแขวนลอยระเหย	62
3.6 ร้อยละก้ามีเทน	63
3.7 เปรียบเทียบผลการทดลองจากการศึกษาวิจัยกับผลการวิจัยที่ศึกษาผ่านมา	64
บทที่ 5 สรุปผลการวิจัยและข้อเสนอแนะ	66
1. สรุปผลการวิจัย	66
2. ข้อเสนอแนะ	67
เอกสารอ้างอิง	69
ภาคผนวก	71
ภาคผนวก ก ข้อมูลทั่วไปเกี่ยวกับ โรงพยาบาลพิษณุโลก	72
ภาคผนวก ข ผลการวิเคราะห์พารามิเตอร์ต่างๆ ในช่วงที่ 1	77
ภาคผนวก ค ผลการวิเคราะห์พารามิเตอร์ต่างๆ ในช่วงที่ 2	91
ภาคผนวก ง สรุปผลการวิจัยและข้อเสนอแนะ ฉบับร่างภาษาอังกฤษ	101
ประวัติผู้เขียน	104

สารบัญตาราง

	หน้า
ตารางที่ 3-1 ลักษณะสมบัติน้ำเสียจากโรงกลั่นเอทานอลจากกาแก่น้ำตาล	20
ตารางที่ 3-2 ความเข้มข้นซีโอดีน้ำเข้าและภาระบรรทุกอินทรี์ในการทดลองช่วงที่ 1	23
ตารางที่ 3-3 ความเข้มข้นซีโอดีน้ำเข้าและภาระบรรทุกอินทรี์ในการทดลองช่วงที่ 2	23
ตารางที่ 3-4 พารามิเตอร์และความถี่ในการวิเคราะห์	25
ตารางที่ 4-1 ค่าเฉลี่ยประสิทธิภาพของระบบที่ความเข้มข้นซีโอดีน้ำเสียเข้าระบบ 5,000 มก./ลิตร ใน การทดลองช่วงที่ 1	28
ตารางที่ 4-2 ค่าเฉลี่ยประสิทธิภาพของระบบที่ความเข้มข้นซีโอดีน้ำเสียเข้าระบบ 10,000 มก./ลิตร ใน การทดลองช่วงที่ 1	29
ตารางที่ 4-3 ค่าเฉลี่ยประสิทธิภาพของระบบที่ความเข้มข้นซีโอดีน้ำเสียเข้าระบบ 20,000 มก./ลิตร ใน การทดลองช่วงที่ 1	29
ตารางที่ 4-4 ความเข้มข้นซีโอดีและร้อยละการกำจัดซีโอดี ที่ความเข้มข้นซีโอดี 20,000 มก./ลิตร ใน การทดลองช่วงที่ 1	39
ตารางที่ 4-5 ค่าเฉลี่ยประสิทธิภาพของระบบที่ความเข้มข้นซีโอดีน้ำเสียเข้าระบบ 5,000 มก./ลิตร ใน การทดลองช่วงที่ 2	42
ตารางที่ 4-6 ค่าเฉลี่ยประสิทธิภาพของระบบที่ความเข้มข้นซีโอดีน้ำเสียเข้าระบบ 10,000 มก./ลิตร ใน การทดลองช่วงที่ 2	43
ตารางที่ 4-7 ค่าเฉลี่ยประสิทธิภาพของระบบที่ความเข้มข้นซีโอดีน้ำเสียเข้าระบบ 20,000 มก./ลิตร ใน การทดลองช่วงที่ 2	43
ตารางที่ 4-8 ค่าเฉลี่ยประสิทธิภาพของระบบที่ความเข้มข้นซีโอดีน้ำเสียเข้าระบบ 40,000 มก./ลิตร ใน การทดลองช่วงที่ 2	44
ตารางที่ 4-9 ความเข้มข้นซีโอดีและร้อยละการกำจัดซีโอดี ใน การทดลองช่วงที่ 2	54
ตารางที่ 4-10 การเปรียบเทียบงานวิจัยที่เคยศึกษาผ่านมากับการทดลองวิจัยครั้งนี้	65

สารบัญภาพ

	หน้า
ภาพที่ 2-1 ปฏิกิริยาเรตอกซ์ในน้ำเสีย	4
ภาพที่ 2-2 ลักษณะของระบบไร์ออกซิเจนค่างๆ	5
ภาพที่ 2-3 การย่อยสลายสารอินทรีโดยกระบวนการไร์ออกซิเจน	7
ภาพที่ 2-4 ส่วนประกอบของระบบยูเออสบี	11
ภาพที่ 2-5 โครงสร้างของเม็ดจุลทรีบีในระบบยูเออสบีบำบัดน้ำเสียกลุ่มโคส	13
ภาพที่ 2-6 การเพิ่มขั้นของปริมาณตะกอนจุลทรีบีและอัตรากระบวนการทุกอินทรีระหว่างเฟส การเกิดเม็ดตะกอนจุลทรีบีในถังยูเออสบี	14
ภาพที่ 2-7 ลักษณะของระบบบำบัดน้ำเสียแบบไร์ออกซิเจนชนิด 2 เฟส	17
ภาพแสดงมาตรฐานส่วน (a) ถังหมักกรด และ (b) ถังยูเออสบี	21
ภาพถ่าย (a) ปั๊ม peristaltic และ (b) เครื่องวัดปริมาตรก้าช ที่ใช้ในการทดลอง	22
ภาพถ่ายชุดถังปฏิกิริย์ ทดลองระบบยูเออสบี 2 เฟส 2 สเตจ	22
ภาพถ่ายภาพแสดงการไหลของระบบยูเออสบี 2 เฟส 2 สเตจ	24
ภาพที่ 4-1 ค่าเฉลี่ยประสิทธิภาพของระบบที่ความเข้มข้นซีโอดีน้ำเสียเข้าระบบ 40,000 มก./ลิตร ในการทดลองช่วงที่ 2	28
ภาพที่ 4-2 ความเข้มข้นซีโอดีและร้อยละการกำจัดซีโอดี ในการทดลองช่วงที่ 2	30
ภาพที่ 4-3 การเปรียบเทียบงานวิจัยที่เคยศึกษาผ่านมา กับการทดลองวิจัยครั้งนี้	32
ภาพที่ 4-4 ความสัมพันธ์ระหว่าง พื้นที่ กับ เวลา ในการทดลองช่วงที่ 1	33
ภาพที่ 4-5 ความสัมพันธ์ระหว่าง กรณีมันระเหย กับ เวลา ในการทดลองช่วงที่ 1	34
ภาพที่ 4-6 ความสัมพันธ์ระหว่าง สภาพด่าง กับ เวลา ในการทดลองช่วงที่ 1	35
ภาพที่ 4-7 ความสัมพันธ์ระหว่าง อัตราส่วนกรณีมันระเหยจ่ายและสภาพด่างทั้งหมด กับเวลา ในการทดลองช่วงที่ 1	36
ภาพที่ 4-8 ความสัมพันธ์ระหว่าง อัตราส่วนตะกอนแขวนลอยและตะกอนแขวนลอยระเหย กับเวลา ในการทดลองช่วงที่ 1	37
ภาพที่ 4-9 ความสัมพันธ์ระหว่าง ร้อยละมีเทน กับ เวลา ในการทดลองช่วงที่ 1	38
ภาพที่ 4-10 อัตราการย่อยสารสารอินทรีแต่ละขั้นตอน ในการทดลองช่วงที่ 1	40
ภาพที่ 4-11 สมดุลย์มวลสารในรูปซีโอดีที่ความเข้มข้นซีโอดีน้ำเสียเข้าระบบ 20,000 มก./ลิตร ในการทดลองช่วงที่ 1	41
ภาพที่ 4-12 ความสัมพันธ์ระหว่าง อุณหภูมิ กับ เวลา ในการทดลองช่วงที่ 2	42
ภาพที่ 4-13 ความสัมพันธ์ระหว่าง ซีโอดี กับ เวลา ในการทดลองช่วงที่ 2	45

สารบัญภาพ (ต่อ)

	หน้า
ภาพที่ 4-14 ความสัมพันธ์ระหว่างประสิทธิภาพการกำจัดซีโอดี กับ เวลา ในการทดลองช่วงที่ 2	46
ภาพที่ 4-15 ความสัมพันธ์ระหว่าง พีเอช กับ เวลา ในการทดลองช่วงที่ 2	47
ภาพที่ 4-16 ความสัมพันธ์ระหว่าง กรณีมันระเหย กับ เวลา ในการทดลองช่วงที่ 2	48
ภาพที่ 4-17 ความสัมพันธ์ระหว่าง สภาพด่างทึ้งหมด กับ เวลา ในการทดลองช่วงที่ 2	49
ภาพที่ 4-18 ความสัมพันธ์ระหว่าง อัตราส่วนกรณีมันระเหยง่ายและสภาพด่างทึ้งหมดกับเวลา ในการทดลองช่วงที่ 2	50
ภาพที่ 4-19 ความสัมพันธ์ระหว่าง อัตราส่วนต่อกันของแนวโน้มและต่อกันของระเหยกับ เวลา ในการทดลองช่วงที่ 2	51
ภาพที่ 4-20 ความสัมพันธ์ระหว่าง ร้อยละมีเทน กับ เวลา ในการทดลองช่วงที่ 2	52
ภาพที่ 4-21 การย่อยสารสารอินทรีย์แต่ละขั้นตอน	54
ภาพที่ 4-22 สมดุลย์มวลสารในรูปซีโอดีที่ความเข้มข้นซีโอดีน้ำเสียเข้าระบบ 5,000 มก./ลิตร ในการทดลองช่วงที่ 2	56
ภาพที่ 4-23 สมดุลย์มวลสารในรูปซีโอดีที่ความเข้มข้นซีโอดีน้ำเสียเข้าระบบ 10,000 มก./ลิตร ในการทดลองช่วงที่ 2	56
ภาพที่ 4-24 สมดุลย์มวลสารในรูปซีโอดีที่ความเข้มข้นซีโอดีน้ำเสียเข้าระบบ 20,000 มก./ลิตร ในการทดลองช่วงที่ 2	57
ภาพที่ 4-25 สมดุลย์มวลสารในรูปซีโอดีที่ความเข้มข้นซีโอดีน้ำเสียเข้าระบบ 40,000 มก./ลิตร ในการทดลองช่วงที่ 2	57
ภาพที่ 4-26 เปรียบเทียบอุณหภูมิ ที่ค่าความเข้มข้นซีโอดี 20,000 มก./ลิตร	59
ภาพที่ 4-27 เปรียบเทียบประสิทธิภาพการกำจัดซีโอดี ที่ค่าความเข้มข้นซีโอดี 20,000 มก./ลิตร	60
ภาพที่ 4-28 เปรียบเทียบพีเอช ที่ค่าความเข้มข้นซีโอดี 20,000 มก./ลิตร	61
ภาพที่ 4-29 เปรียบเทียบอัตราส่วนระหว่างกรณีมันระเหยง่ายกับสภาพด่างทึ้งหมดที่ค่าความ เข้มข้นซีโอดี 20,000 มก./ลิตร	62
ภาพที่ 4-30 เปรียบเทียบอัตราส่วนค่าต่อกันของแนวโน้มและต่อกันของระเหยที่ค่า ความเข้มข้นซีโอดี 20,000 มก./ลิตร	63
ภาพที่ 4-31 เปรียบเทียบร้อยละมีเทน ที่ค่าความเข้มข้นซีโอดี 20,000 มก./ลิตร	64